

N-26 軌道の空屈に対する通り狂いの影響

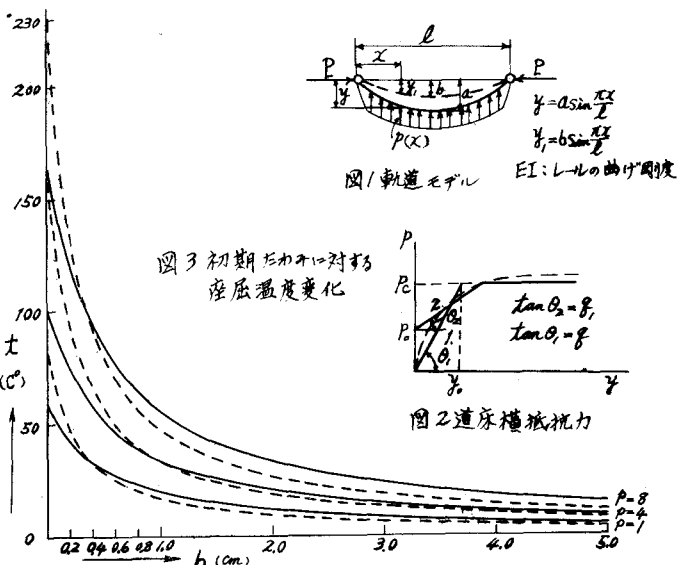
国鉄 鉄道技術研究所 正員 近藤吉芳

1 概説 軌道の空屈強度の問題については、すでにロンクレールの温度安定性に関する実験とモデル実験を通じて理論的検討が行われ、國鉄では在来線の500km以上、新幹線の全線がロンクレールの敷設が行われている。しかし今後さらに天下にロンクレール化を進められた場合には、其の経済性、技術的見地から軌道の空屈に関する詳細な検討を有する必要がある。そのため従来の研究が軌道空屈後の形状から空屈に関する絶対安全強度を保証するものであるが、微小変形理論に従って空屈安全性を論じてからに付し、空屈発生の過程を直接検討して軌道の空屈に対する道床抵抗力、軌道狂い、軌道剛性の影響を直接把握する必要があると思われる。以下に述べる報告は、軌道の空屈発生において道床横抵抗力の非線型特性特に塑性特性に移行するまでの過程が重要であるという認識に基いて、その理論解析を試みたものである。

2 取扱う系とその解析結果 取扱う軌道のモデルは、軌道の問題となる部分の変曲長間ととり、図1のようにあるものとする。道床横抵抗力については、実際の測定結果が図2の破線で表わされるのに付し弾塑性特性による経路Tの場合と、剛弾塑性特性による経路Sの場合について考える。初期にわくについてには種々の場合があるが、まず最初にレールの曲がりがあらわれながらの直道部中に敷設された場合について考える。初期たわみの波長は横たわみ増大後の波長に一致するものとして、異なる場合の影響については別途考慮するものとする。このほか重要な現象としてEngelの指摘によると、空屈発生後は車の変形によって軸圧力が大きくなるが空屈発生までの過程においては軸圧力がほとんど変動しないといふことがある。

以上の條件の下で経路Tの場合には、空屈の道床横抵抗力の弾塑性特性による横たわみと軸圧力の、塑性特性によるそれらの合致する場合に生ずるものとすれば、このときの軸圧力および横たわみは、

$$\begin{aligned} & \frac{x^3}{\sec(\pi x \frac{E}{l}) - 1 - \frac{\pi^2}{8}x} \\ & = \frac{P}{Q} \left[x^2 - \left(2 + \frac{Q}{P} \right)x + \left(1 + \frac{Q}{P} \right) \right] \quad (1) \\ & y = \frac{b}{1 - \frac{x}{1 + \frac{Q}{P}}} \quad (2) \\ & \text{よし} \quad x = \frac{E l^2 P}{F I \pi^2}, \quad Q = \frac{8 E l^2}{F I} \end{aligned}$$



$$P = \frac{EI\theta^2}{L^2}, \quad IB = \frac{b}{c}, \quad \frac{P}{IB} = \frac{P_c}{cb} = \frac{\theta_0}{b} = \alpha$$

1: 5として与えられる。 (1) 式の左辺は x だけの関数 β の x について検討する。 x は実用的には $1 \sim 5$ の範囲なので、十分の精度をもつてこれを $\beta(x) = \beta_0 x(x-1)$, $\beta_0 = -0.77445$ とおきよう。

$$x = \frac{\alpha(1 + \frac{\theta_0}{\theta})}{\alpha - \theta_0} \quad (2)$$

この解が求められる。これから最小空屈軸圧力、波長および最大横にわみは

$$P = \sqrt{EI\theta} \cdot \frac{\theta_0}{\alpha - \theta_0}, \quad l_c = \sqrt{\frac{EI}{\theta}} \cdot \pi, \quad y_c = \frac{b(\alpha - \theta)}{-\theta_0} \quad (3)$$

と与えられる。この空屈軸圧力を温度変化に換算して $PSSD$ は $L=1$ で $\theta_0 = 0.2$ と 0.4 cm の場合について図示したのが図 3 である。つまりこの理論によれば $\theta = 0$ の場合には $P = \sqrt{EI\theta}$ に相当する温度変化を生ずると急激に横にわみが大きくなりて空屈するのであるが、初期にわみがある場合にはこれに $\alpha/\alpha(\alpha-\theta_0)$ 倍の割引きをしてなければならぬことわかる。同じ塑性道床抵抗力に対しては、その弾性特性部の勾配は上記初期にわみ $\theta = 0.37$ cm 附近を境としてそれより初期にわみが小さい範囲では勾配が急の方が大となる。大きい範囲では緩の方方が大となる。実際の数値について考へると、 $P = 4kN/cm$, $\theta = 0.4$ cm とすると兩者共空屈発生に対して $65^\circ C$ の温度変化が必要なことがわかる。

3 軌道剛性とその他の初期にわみの影響 軌道剛性はレール締結装置の回転抵抗以上) からされるものであるが、これも空屈に至るまでの過程では回転角に一次比例するものとすれば、弾性特性をもつ道床抵抗に対しては回転抵抗がない場合に較べて同一横にわみで軸圧力が $\beta(a-b)/a$ (β : 回転剛性) だけ向上する。

次に、直線状のレールが曲がって敷設された場合について考慮すると、道床抵抗の弾性特性に門型では曲がったレールを含む構造とした前記の場合に等しく、塑性特性に関する初期にわみの影響を受ける場合に等しくなる。曲がったレールが直線状に敷設された場合には、弾性特性に関する軸圧力が $\sqrt{EI\theta}$ にはまではほらの変形を生せず、塑性特性に関する曲がったレールを含む構造とした場合に等しくなる。

最後に、図 2 の経路 α 刚性特性の部分について考へると、 $P = P_0$ になると軸圧力は

$$P = \frac{P_0}{b} \cdot \frac{\theta^2}{\pi^2}$$

と表わされ、このことは他の検討とも相まって、空屈に至るまでの横にわみが初期にわみと道床抵抗の特性によって大きく支配されといふことを示している。

4 結語 以上の検討は問題の解決に対する大筋を把握し、可能な部分については数値計算を行、其結果を総括したものであるが、問題は道床抵抗の非線形性に基づくものである。これの解決にあたっては今後さらにモルタル実験、理論解析、实物実験を通じて詳細な検討と必要とするものと思われる。以上の解析に際し数値計算の勞と同室の永田正巳、小林悟の両氏にわざわざいたことを附記し謝意を表す。